

Решение поставленной задачи легко находится в замкнутой форме

$$l = r^{\frac{\alpha-1}{2(\alpha+1)}} \psi_0, \quad \psi_0 < 1,$$

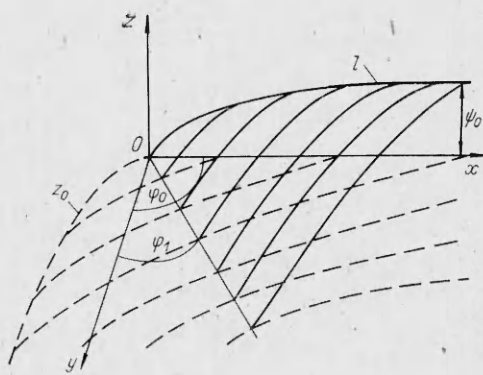
$$f(\eta) = \eta^{\frac{\alpha-1}{2(\alpha+1)}},$$

$$\eta_0 = \operatorname{ctg} \varphi_0, \quad \eta_1 = \operatorname{ctg} \varphi_1,$$

$$\varphi_0 \leqslant \frac{\pi}{2}, \quad \varphi_1 = \arccos \left[\psi_0^{\frac{2(\alpha+1)}{\alpha-1}} \right].$$

На рисунке сплошными линиями показана поверхность ледника, штриховыми — ложе ледника:

Представляет интерес нахождение решения для существенно двумерных задач со сложным ложем. Была сделана попытка построения его на ложе $z_0 = x^2/y^4 + \text{const}/y^2$. Однако подобные задачи не являются тривиальными, при решении их встречаются определенные трудности. Поэтому существенно двумерные задачи со сложным ложем заслуживают особого внимания.



ЛИТЕРАТУРА

- Григорян С. С., Шумский П. А. Простейшая математическая модель трехмерного нестационарного ледника.— В сб.: Научные труды Ин-та механики МГУ. М.: Изд-во МГУ, 1975, № 42.
- Григорян С. С., Красс М. С., Шумский П. А. Математические модели основных типов ледников.— В сб.: Механика ледников. М.: Изд-во МГУ, 1977.
- Шумский П. А. Динамическая гляциология.— Итоги науки и техники. Сер. География. Гидрология суши. Гляциология. М.: ВИНИТИ, 1969.
- Красс М. С. Математические модели и численное моделирование в гляциологии.— М.: Изд-во МГУ, 1981.
- Вербицкий М. Я. Численное моделирование эволюции покровного оледенения.— ДАН СССР, 1981, т. 256, № 6.
- Саламатин А. Н. Анализ простейших математических моделей куполовидных ледников.— В кн.: Исследования по прикладной математике. Казань: Казан. ун-т, 1979, вып. 7.
- Овсянников Л. В. Групповой анализ дифференциальных уравнений.— М.: Наука, 1978.
- Чугунов В. А. О групповых свойствах уравнения, описывающего течение ледников.— Изв. вузов. Математика, 1982, № 10.
- Kamin S. Continuous groups of transformations of differential equations: applications to free boundary problems.— In: Free Boundary Probl.: Proc. Semin., Pavia, 1979. Roma, 1980, v. 2.

Поступила 5/VII 1985 г.

УДК 533.6.011.8

МАКРОСКОПИЧЕСКАЯ ТЕОРИЯ ЭВОЛЮЦИИ ЖИДКИХ КАПЕЛЬ В СОБСТВЕННОМ ПАРЕ

A. L. Иткин

(Москва)

При изучении многих процессов в метеорологии, физической химии, газовой динамике возникает необходимость определить скорость конденсационного роста или испарения жидких капель. В настоящее время экспериментальное изучение такой величины затруднено, особенно для малых капель, состоящих из нескольких тысяч молекул. Существующие теоретические методы [1—3] позволяют вычислить скорость роста сферических капель при некоторых специальных ограничениях, накладываемых на характер изучаемого процесса. К сожалению, ни в одной из указанных работ авторы не анализируют влияние сделанных ими предположений на окончательный результат.

В настоящей работе решена задача об определении скорости роста сферических капель, находящихся в среде собственного пара. Особое внимание удалено выяснению

вопроса о том, как изменение внутренней энергии капли со временем и теплопроводность капли влияют на ее скорость роста и температуру.

1. Основные уравнения. Рассмотрим сферическую каплю, окруженную собственным паром. Температура T_0 и давление пара p_0 на бесконечном удалении от капли постоянны. В начальный момент времени $t = 0$ капля имеет радиус R_0 . Введем сферическую систему координат r, φ, θ с началом в центре капли и будем считать профиль температуры в капле и в паре сферически-симметричным. Таким образом, температура внутри капли меняется по некоторому закону $T = T(r)$.

Запишем соотношения баланса массы и энергии. Примем, учитывая малую сжимаемость жидкости, что ее плотность ρ зависит лишь от температуры. Тогда

$$(1.1) \quad dM/dt = S\Pi_M, \quad dU/dt + pdV/dt = S\Pi_Q,$$

$$M = \int_0^R 4\pi r^2 \rho(r) dr, \quad U = \int_0^R 4\pi r^2 e(r) \rho(r) dr + S[\sigma - T_s d\sigma/dT_s],$$

$$V = (4/3)\pi R^3, \quad S = 4\pi R^2, \quad \Pi_M = m_1(N^+ - N^-), \quad \Pi_Q = m_1(Q^+ - Q^-),$$

где M , U , e , V — масса, внутренняя и удельная внутренняя энергия и объем капли; S , T_s — площадь и температура ее поверхности; σ — коэффициент поверхностного натяжения; m_1 — масса молекулы пара; Π_M , Π_Q , N^\pm и Q^\pm — результирующие и удельные потоки массы и энергии на поверхность капли. Индексы $+$ и $-$ относятся к молекулам, летящим на и от капли соответственно. При выводе (1.1) считалось, что жидкая капля содержит достаточно молекул, чтобы имели смысл понятия температуры, давления, плотности и ее можно было бы разделить на объемную и поверхностную части.

Для построения профиля температуры в капле найдем автомодельное квазистационарное решение уравнения теплопроводности

$$\frac{\partial T}{\partial t} - \frac{c_T}{r^2} \frac{\partial}{\partial r} r^2 \frac{\partial T}{\partial r} = 0.$$

Примем, что жидкость, составляющая каплю, покоятся. Введем безразмерную переменную $\tau = T/T_*$ ($T_* = (1/V) \int_0^R 4\pi r^2 T dr$ — средняя по объему температура капли) и будем считать, что $d\tau/dt = 0$ [4]. Границные условия поставим в центре и на поверхности капли. Поскольку с физической точки зрения центр капли не является особой точкой, в ней должно выполняться условие регулярности $\partial T/\partial r|_{r=0} = 0$. Градиент температуры на поверхности капли связан с тепловым потоком Π_Q законом Фурье $\lambda \partial T/\partial r = \Pi_Q$. Тогда можно показать, что профиль температуры для такого режима задается соотношениями

$$(1.2) \quad T(r) = \Pi_Q R^2 \operatorname{sh} lr / [(lR \operatorname{ch} lr - \operatorname{sh} lr)r\lambda], \quad \mu^2 < 0,$$

$$T(r) = \Pi_Q R^2 \sin lr / [(lR \cos lr - \sin lr)r\lambda], \quad \mu^2 \geq 0.$$

Здесь $\mu^2 = -3\Pi_Q/(R\lambda T_*)$, а l определяется из решения трансцендентного уравнения

$$(1.3) \quad \lambda T_s = \Pi_Q(R, T_s) R \operatorname{sh} lr / (lR \operatorname{ch} lr - \operatorname{sh} lr), \quad \mu^2 < 0.$$

Таким образом, зная T_s , R , Π_Q и коэффициент теплопроводности λ , можно вычислить температуру $T(r)$ в любой точке капли.

Используя (1.2), находим систему дифференциальных уравнений для определения зависимости R и T_s от времени. Будем считать, что $\rho = \rho_1 - \rho_2 T$ (ρ_1 и ρ_2 — const). Тогда можно получить, обозначив через L удельную теплоту конденсации:

$$(1.4) \quad e = c_p T - L - \rho_2 p T / \rho^2 \approx c_p T - L,$$

где учтено, что вдали от критической точки $\rho_2 p T / \rho^2 \ll L$, а c_p — удельная теплоемкость пара при постоянном давлении. Воспользовавшись определениями M , U и T_* из (1.1) и (1.2), имеем

$$(1.5) \quad M = V(\rho_1 - \rho_2 T) = V\rho(T_*).$$

Аналогично из (1.1)–(1.4) в предположении $L = \text{const}$

$$(1.6) \quad U = S\Sigma - LM + V\{c_p T_* \rho_1 - (3/2) c_p \rho_2 \Gamma^2 (\sinh 2lR/2lR - 1)/R^2\} = \\ = S\Sigma - LM + VF.$$

Здесь $\Gamma = \Pi_Q R^2 (lR \operatorname{ch} lR - \operatorname{sh} lR)^{-1}/\lambda = RT_s/\operatorname{sh} lR$; F означает выражение в фигурных скобках; $\Sigma = \sigma - T_s d\sigma/dT_s$. Наконец, заметим, что давление p в капле можно найти из условия равновесия $p = p_v + 2\sigma/R$, где p_v — давление пара над каплей.

Теперь в явном виде можно выразить $\dot{R} = dR/dt$ и $\dot{T}_s = dT_s/dt$:

$$(1.7) \quad \begin{aligned} \dot{R} &= (z_1 y_2 - z_2 y_1)/\varphi, \quad \varphi = x_1 y_2 - x_2 y_1, \\ \dot{T}_s &= (x_1 z_2 - x_2 z_1)/\varphi, \quad z_1 = \Pi_M, \quad z_2 = \Pi_Q + L\Pi_M, \\ x_1 &= \rho(T_*) + (R/3) \partial\rho(T_*)/\partial T_* \cdot \partial T_*/\partial R, \quad T_* = 3T_s/(lR)^2 (lR \operatorname{cth} lR - 1), \\ x_2 &= F + (R/3) \partial F/\partial R + p + 2/R(\Sigma - \sigma), \quad y_1 = (R/3) \partial\rho(T_*)/\partial T_* \cdot \partial T_*/\partial T_s, \\ y_2 &= (R/3) \partial F/\partial T_s + \partial\Sigma/\partial T_s. \end{aligned}$$

Производные $\partial l/\partial R$ и $\partial l/\partial T_s$ найдем, дифференцируя (1.3) по R и по T_s , а l — из решения (1.3).

Сделаем замечание. В [2, 3] вместо уравнения энергии, входящего в (1.1), используется соотношение

$$(1.8) \quad \Pi_Q + L\Pi_M = 0.$$

Выведем его из (1.1), пренебрегая работой расширения капли ($pdV/dt = 0$), поверхностными эффектами ($\sigma = 0$) и полагая $\rho = \text{const}$. Так как из (1.4) $e \approx c_p T - L$, то

$$\begin{aligned} U &= \int 4\pi r^2 e \rho dr = \rho(c_p T - L)V = M(c_p T - L), \\ S\Pi_Q &= dU/dt = dM/dt(c_p T - L) + Mc_p dT/dt. \end{aligned}$$

При небольших температурах $c_p T \ll L$, отсюда

$$(1.9) \quad S\Pi_Q + LS\Pi_M = Mc_p dT/dt \text{ или } \Pi_Q + L\Pi_M = \rho R/3 \cdot c_p dT/dt.$$

Нетрудно видеть, что (1.8) следует из (1.9), если $\Pi_Q + L\Pi_M \gg \rho R/3 \cdot c_p dT/dt$. Однако такое предположение неочевидно.

2. Вычисление потоков массы и энергии. Для решения (1.7) необходимо знать потоки N^\pm , Q^\pm и давление пара над каплей p_v . Будем считать пар одноатомным газом. Тогда указанные величины можно найти из решения уравнения Больцмана, которое в сферических координатах имеет вид

$$\begin{aligned} \partial f/\partial t + v_r \partial f/\partial r + (v_\varphi^2 + v_\theta^2)/r \cdot \partial f/\partial v_r - (v_\varphi v_\theta/r \operatorname{ctg} \theta + v_r v_\varphi/r) \partial f/\partial v_\varphi + \\ + (v_\varphi^2/r \operatorname{ctg} \theta - v_r v_\theta/r) \partial f/\partial v_\theta = \int (f' f'_1 - f f'_1) d\Omega. \end{aligned}$$

Рассмотрим процесс роста капли в квазистационарном приближении $\dot{R} \ll 2kT_0/m_1$, считая, что $(T_s - T_0)/T_0 \ll 1$. В этом случае $\partial f/\partial t = 0$ и задача допускает линеаризацию.

Для решения линеаризованного стационарного уравнения Больцмана используем моментный метод Лиза [5], в котором функция распределения молекул по скоростям предполагается разрывной в каждой точке пространства скоростей. Коническая поверхность с центром в данной точке и образующими, касательными к поверхности капли, разбивает все пространство скоростей на два подпространства. Будем считать, что в

каждом подпространстве f есть линеаризованная локально максвелловская функция, а индексами $-$ и $+$ обозначим области внутри и вне введенной конической поверхности. Таким образом,

$$(2.1) \quad f^\pm = f_0(1 + \varphi) = f_0[1 + v^\pm + (C^2 - 3/2)\tau^\pm],$$

где φ^+ и φ^- — линейные поправки к функции распределения;

$$f_0 = (\rho_0/m_1)(\eta/\pi)^{3/2} \exp(-C_0^2); \quad \rho_0 = p_0/(AT_0); \quad C_0^2 = \eta(v-u)^2; \quad \eta = m_1/2kT_0;$$

τ^\pm и v^\pm — поправки к температуре и плотности: $\tau^\pm = T^\pm/T_0 - 1$; $v^\pm = \rho_v^\pm/\rho_0 - 1$. В последних соотношениях T^\pm и ρ_v^\pm есть температура и плотность пара в соответствующих подпространствах.

Умножая последовательно уравнение Больцмана на $m_1, m_1v_r, m_1v^2/2$ и $m_1v^2v_r/2$ и интегрируя по всему пространству скоростей, можно получить систему четырех моментных уравнений относительно неизвестных поправок v^\pm и τ^\pm [2, 6]. При этом интеграл по всему пространству скоростей представляется как сумма интегралов по соответствующим подпространствам и считается, что $u = O(\tau^2)$.

При вычислении моментов от интеграла столкновения использовались два подхода. В первом функция f в подынтегральном выражении разлагалась в ряд по полиномам Сонина $S_{3/2}^p$, умноженным на C_r , а коэффициенты ряда выбирались из условия равенства моментов от такого разложения моментам от исходной функции распределения [7]. В данной работе сохранились первые два члена ряда, а для определения коэффициентов при них брались моменты u_r и q_r (q_r — радиальная компонента вектора потока тепла). Во втором случае использовалась эллипсоидальная модель [8]. Можно показать, что первые три момента $\Delta m_1, \Delta m_1v_r, \Delta m_1v^2/2$ равны нулю в силу законов сохранения, а

$$(2.2) \quad \Delta m_1v^2v_r/2 = [2(v^+ - v^-) - 7(\tau^+ - \tau^-)]D/r^2.$$

При этом для эллипсоидальной модели оператора столкновений $D = -(4/15)kp_0T_0R^2/(m_1\pi\lambda_c)$, а для модели [7] $D = -(2/15)\rho_0^2R^2\Omega^{(2,2)}/(m_1^2\eta^{3/2}\sqrt{\pi})$, где λ_c — средняя длина свободного пробега молекулы, $\Omega^{(2,2)}$ — стандартное обозначение из [8], значение $\Omega^{(2,2)}$ зависит от выбора потенциала взаимодействия молекул пара.

В качестве граничных условий используется то, что при $r \rightarrow \infty$ температура и давление пара равны T_0 и p_0 и $u = 0$. На поверхности капли зададим коэффициенты аккомодации массы и энергии

$$(2.3) \quad \alpha_m = (N^+ - N^-)/(N^+ - N_s^-), \quad \alpha_Q = (Q^+ - Q^-)/(Q^+ - Q_s^-).$$

Здесь N_s^- и Q_s^- — потоки массы и энергии тех молекул, которые после отражения от капли или испарения с ее поверхности имеют температуру T_s и плотность ρ_{sv} , равную равновесной плотности насыщенных паров над каплей заданного радиуса R . Так как рассматривается идеальный газ, то $\rho_{sv} = p_e/(AT_s)$, где A — газовая постоянная, p_e — равновесное давление пара у поверхности капли, которое можно найти из уравнения Кельвина $p_e = p_\infty(T_s) \exp[2\sigma/(\rho AT_s R)]$.

Известно, что капля, находящаяся в равновесии с окружающим паром, называется критическим зародышем, радиус которого обозначим через r_* . Таким образом,

$$(2.4) \quad R = r_*(T_s, p_e).$$

Решая систему моментных уравнений с заданными граничными условиями, получим

$$(2.5) \quad \tau^+ = j/(2r), \quad v^+ = -\tau^+, \quad \tau^- = \tau^+ + C_1, \quad v^- = v^+ + C_2,$$

где $j = d(2C_2 - 7C_1)$; $d = (4/5)m_1D/(kp_0T_0)$;

$$v^+(R) = -aC_2 - bC_1, \quad a = d/R, \quad b = -(7/2)d/R;$$

$$C_1 = [(1 - a)\tau_s - av_s]/(1 + b - a);$$

$$C_2 = [b\tau_s + (1+b)v_s]/(1+b-a);$$

$$\tau_s = T_s/T_0 - 1; v_s = \rho_{sv}/\rho_0 - 1.$$

Можно показать, что выражение $1 + b - a$ обращается в нуль только при $R < 0$, т. е. система моментных уравнений всегда имеет единственное решение.

Из кинетической теории следует [9]

$$(2.6) \quad N^\pm = \int f^\pm v_r dv, \quad Q^\pm = \int f^\pm (1/2) v^2 v_r dv.$$

Подставляя (2.5) в (2.6) и полагая $r = R$ (так как нас интересуют потоки на поверхности капли), окончательно имеем

$$(2.7) \quad N_s^- = N_* (1 + v_s + \tau_s/2), \quad Q_s^- = Q_* (1 + v_s + (3/2)\tau_s), \quad Q_* = 2AT_0N_*,$$

$$N_* = p_0/(2\pi m_1 k T_0)^{1/2}, \quad N^+ = N_* (1 + v^+(R) + (1/2)\tau^+(R)),$$

$$Q^+ = Q_* (1 + v^+(R) + (3/2)\tau^+(R)), \quad \Pi_M = \alpha_m m_1 N_* (v^+ - v_s + (1/2)\tau^+ - (1/2)\tau_s),$$

$$\Pi_Q = \alpha_Q m_1 Q_* (v^+ - v_s + (3/2)\tau^+ - (3/2)\tau_s), \quad \rho_{sv} = p_e/(AT_s).$$

Из (2.5) при $R \rightarrow \infty$ $\tau^+ \rightarrow \text{const}$ и $v^+ \rightarrow \text{const}$. При этом пространство скоростей из разрывного вырождается в непрерывное. Таким образом, метод Лиза становится непригодным для решения подобных задач при больших размерах капли.

3. Устойчивость и предельные случаи. Рассмотрим устойчивость системы (1.7). Этот вопрос тесно связан с выяснением границ применимости развивающейся модели. Установим, всегда ли уравнения (1.1) разрешимы в виде (1.7). Для этого необходимо и достаточно, чтобы якобиан $\varphi = x_1 y_2 - x_2 y_1$ был отличен от нуля. Положим $\sigma = \sigma_1 - \sigma_2 T_s$, где $\sigma_1, \sigma_2 = \text{const}$. Рассмотрим частные случаи: в первом (ЧС1) $\rho_2 = 0$, $T(r) = \text{const}$, а $\varphi = c_p \rho_1^2 > 0$, во втором (ЧС2) при $T(r) = \text{const}$ $\varphi = c_p \rho^2 R/3 + (p + 2\sigma_2 T/R) R \rho_2/3 > 0$. В общем случае в силу сложной зависимости φ от R и T_s этот факт неочевиден. Однако численное исследование для воды и аргона, показало, что $\varphi > 0$ во всем диапазоне температур и давлений, при которых возможно раздельное существование жидкой и газообразной фаз. Значения констант, входящих в теплофизические зависимости для воды и аргона приведены в таблице, где μ — молекулярный вес, d и p_1 — константы уравнения Клапейрона — Клаузуса для определения давления насыщенных паров $p_\infty(T) = p_1 \exp(d - L/(AT))$, $\Omega_*^{(2,2)} = \Omega^{(2,2)}/(2\sigma_0^2 \sqrt{AT_0 \pi})$, σ_0 — параметр потенциала взаимодействия твердых сфер. При этом $\Omega^{(2,2)}$ выбиралось для потенциала Леннарда — Джонса (6—12) (аргон) и для потенциала Кеезома (вода) и считалось не зависящим от T_0 .

Найдем стационарные точки системы (1.7), для чего необходимо решить систему уравнений $\dot{R} = 0$ и $\dot{T}_s = 0$.

3.1. Зародыш критического размера. Легко видеть, что условие $\dot{R} = 0$, $\dot{T}_s = 0$ выполняется при $z_1 = z_2 = 0$, что соответствует $\Pi_M = \Pi_Q = 0$ или $\tau_s = v_s = 0$. Отсюда имеем $T_s = T_0$, а из (2.4) $p = p_0$, $R = r_*(T_0, p_0)$. Точка T_0 , r_* отвечает случаю, когда капля есть критический зародыш, находящийся в равновесии с окружающим паром.

Среда	μ , кг/кмоль	ρ_1 , кг/м ³	ρ_2 , кг/(м ³ ·К)	$\sigma_1 \cdot 10^3$, Н/м	$\sigma_2 \cdot 10^3$, Н/(м ² ·К)	b , К	d	$p \cdot 10^6$, Па	λ , Дж/(м·с·К)	$\Omega_*^{(2,2)}$, Дж/(м ² ·с ² ·К)	$\sigma_0 \cdot 10^10$, м
Вода	18,02	1110	0,4	128,0	0,19	5338	28,26	1	0,681	2,50	2,52
Аргон	39,95	2620	13,8	29,5	0,196	685,4	7,85	10^6	0,126	1,75	3,40

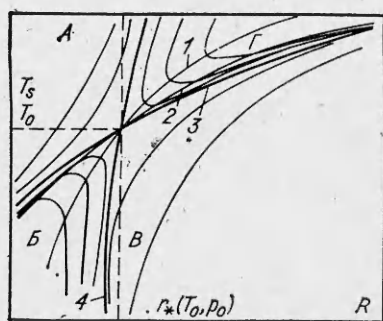


Рис. 1

точные расчеты подтверждают такое их поведение. Из п. 3.1 следует, что оба графика пересекаются в точке $T = T_0, R = r_*(T_0, s_0)$. Таким образом, все возможные состояния, в которых капля имеет радиус R и температуру поверхности T_s , делятся на четыре области. В области A $T_s < 0, R < 0$, $B - T_s < 0, R > 0$, $B - T_s > 0, R > 0$, $\Gamma - T_s > 0, R < 0$. Проделенное исследование показало, что точка T_0, r_* — особая точка типа «седло». Сепаратриса 3 разделяет указанные области и практически совпадает с кривой 2 ($\dot{T}_s = 0$), сепаратриса 4 есть линия критических радиусов. Все капли, начальный размер которых на рис. 1 лежит слева от этой линии, испаряются, а справа — растут. Таким образом, можно обобщить понятие критического размера на случай, когда температуры капли и пара отличаются.

Анализ поведения интегральных кривых позволяет сделать несколько замечаний:

- при неизменных внешних условиях в паре ($T_0, p_0 = \text{const}$) существуют капли с $R < r_*$, которые в процессе их эволюции растут до бесконечности;
- существуют капли с $R > r_*$, которые в процессе эволюции испаряются.

Таким образом, учет неизотермичности может привести к изменению характера протекания процесса роста или испарения капли.

4. Тестовые расчеты и сравнение моделей. В тестовых расчетах система (1.7) интегрировалась численно при заданных T_0, p_0 , а также R_0 и T_{s0} в момент $t = 0$. Предполагалось, что $\alpha_m = \alpha_Q = 1$ для аргона, а остальные необходимые константы брались из таблицы.

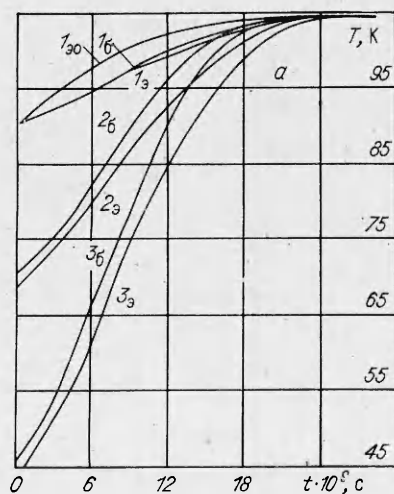
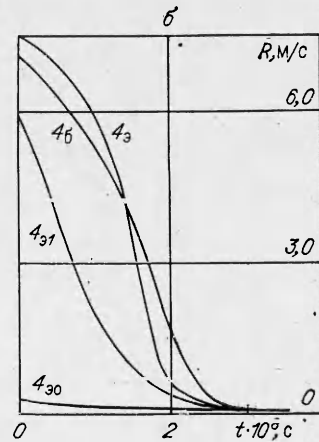


Рис. 2



На рис. 2, а, б приведены полученные из решения систем ЧС1, ЧС2 и (1.7) зависимости T_s , T_* , T_N и \dot{R} (линии 1—4) от t (T_N — температура в центре капли, индекс э — эллипсоидальная модель оператора столкновений, б — модель [7], 0 — ЧС1, 1 — ЧС2). Начальные условия для этого расчета: $T_0 = 90$ К, $s_0 = 3$, $p_0 = 3 \cdot 10^5$ Па, $r_*(T_0, p_0) = 8,42 \cdot 10^{-7}$ мм, $R_0 = 1000r_* = 8,42 \cdot 10^{-7}$ мм, $T_{s0} = T_0 = 90$ К. Как следует из расчетов, неравномерность профиля температуры в такой капле может составлять 14 К. В этом случае учет теплопроводности приводит к заметному изменению \dot{R} , причем результат может отличаться на порядок. На временах порядка 10^{-7} с профиль температуры в такой капле выравнивается.

На рис. 3 представлены результаты расчетов с теми же начальными данными, выполненных по модели [2] (кривая 1 — T_s , 2 — \dot{R}). Результаты сильно отличаются от представленных на рис. 2, что связано с использованием уравнения энергии (1.8).

Из рис. 2 видно, что замена эллипсоидальной модели оператора столкновений на модель [7] приводит к изменениям в T_s на 2—3% и изменению в \dot{R} до 40%.

Аналогичные расчеты, выполненные с теми же начальными данными, но с $R_0 = 9r_*$, показали, что учет теплопроводности для таких малых капель несуществен.

Представляет интерес выяснить, какое влияние на \dot{R} и T_s оказывает выбор тех или иных теплофизических зависимостей. Из рис. 2 видно, что учет зависимости плотности жидкости от температуры приводит к изменению T_s на 2—5%, а \dot{R} почти в 30 раз. Таким образом, для точных расчетов \dot{R} необходимо учитывать реальные теплофизические свойства капли.

Автор выражает благодарность В. А. Волкову за ценные замечания.

ЛИТЕРАТУРА

1. Hatakeyama M., Oguchi H. A kinetic approach to non-linear condensation and/or evaporation processes. ISAS Report, 572. Tokyo, 1979, v. 44, N 5.
2. Ивченко И. Н. Приближенные методы решения граничных задач для уравнения Больцмана.— М.: МЭСИ, 1979.
3. Черняк В. Г., Маргилевский А. Е. Кинетическая теория испарения и конденсационного роста сферических частиц.— ТВТ, 1980, № 5.
4. Волков В. А., Муслаев А. В. О неравномерности прогрева аэрозольных частиц в двухфазных потоках.— В кн.: Тез. IV Всесоюз. конф. по аэрозолям. Ереван, 1983.
5. Lees L. Kinetic theory description of rarefied gas flow.— J. Soc. Industr. Appl. Math., 1965, v. 13, N 1.
6. Иткин А. Л. Исследование скорости роста сферических частиц в среде собственного пара при произвольных числах Кнудсена.— В кн.: Математические аспекты задач охраны воздушного бассейна. М.: МАИ, 1984.
7. Яламов Ю. И., Ивченко И. И., Мурадян С. М. Теория испарения сферических капель при произвольных числах Кнудсена.— ДАН СССР, 1981, т. 258, № 5.
8. Черчиньянин К. Теория и приложения уравнения Больцмана.— М.: Мир, 1978.
9. Гиршфельдер Дж., Кертис Ч., Берд Р. Молекулярная теория газов и жидкостей.— М.: ИЛ, 1961.

Поступила 1/XI 1985 г.

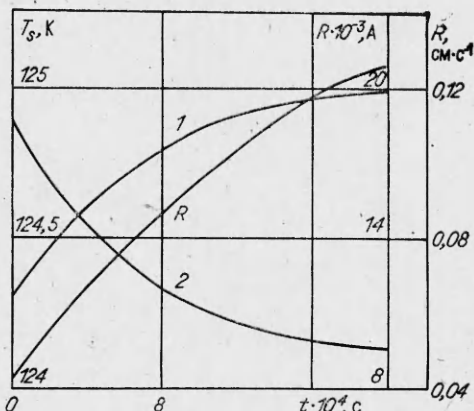


Рис. 3